

## بررسی تأثیر رویکرد آمیختگی بر ترویج تشکیل شبکه عروقی در مهندسی بافت

همون صلواتی<sup>۱</sup>, مجید سلطانی<sup>۲\*</sup>, حسین بزم آرا<sup>۳</sup>

۱- دانشجوی کارشناسی ارشد، مهندسی مکانیک، دانشگاه صنعتی خواجه نصیرالدین طوسی، تهران

۲- استادیار، مهندسی مکانیک، دانشگاه صنعتی خواجه نصیرالدین طوسی، تهران

۳- استادیار، مهندسی مکانیک، واحد پردیس دانشگاه آزاد اسلامی، تهران

\* تهران، صندوق پستی 19395-1999

### چکیده

در طی چندین دهه اخیر، نیاز روزافزون انسان برای جایگزینی اعضا و بافت‌ها در بدن موجب شده است تا مهندسی بافت به عنوان یکی از حوزه‌های پیشرو در تحقیقات علمی مطرح شود. علی‌رغم دستاوردهای بی‌شمار در این حوزه، تاکنون تأثیر مهندسی بافت در کاربردهای بالینی محدود بوده است. یکی از اصلی‌ترین دلایل این محدودیت، عدم تأمین خون کافی برای بافت در مراحل اولیه پس از کاشت است. زمان بر بودن فرآیند رگ‌زایی موجب ناکافی بودن تشکیل عروق خونی و درنهایت مرگ سلول‌ها و از بین رفتن بافت می‌شود. در طی سال‌های اخیر، با اجرای رویکردی با نام آمیختگی، سعی شده است تا با جایگذاری یک شبکه عروقی پیش‌ساخته در سازه بافت، تشکیل شبکه خون‌رسانی در درون بافت تسهیل شود. در تحقیق پیش رو با توجه به طبیعت سلولی فرآیند رگ‌زایی، بر اساس یک مدل ریاضی مبتنی بر سلول، دینامیک فرآیند رگ‌زایی در سه مقیاس فراسلولی، سلولی و درون‌سلولی شبیه‌سازی شده است تا عملکرد رویکرد آمیختگی مورد آزمون قرار بگیرد. نتایج به دست آمده برتری استفاده از رویکرد آمیختگی نسبت به رویکرد رگ‌زایی برای تشکیل شبکه عروقی در مهندسی بافت را نشان می‌دهد. این مدل افزایش احتمال بازیابی جوانه موپیرگ‌ها از طریق رویکرد آمیختگی را به اثبات می‌رساند که درنتیجه آن مقدمات جاری شدن خون در شبکه عروقی سریع‌تر طی می‌شود. علاوه بر این، مدل سلولی به‌گونه‌ای توسعه‌یافته است که اثرات ماتریس فراسلولی بر الگوی رگ‌زایی از طریق پدیده دوشاخه شدن نشان داده شود.

### اطلاعات مقاله

مقاله پژوهشی کامل

دریافت: 30 دی 1394

پذیرش: 25 بهمن 1394

ارائه در سایت: 07 فروردین 1395

کلید واژگان:

فرآیند رگ‌زایی

مهندسي بافت

رويکرد آمیختگی

مدل سلولی پاتس

## Investigation on the effect of inosculation strategy on promoting vascularization in tissue engineering

Hooman Salavati<sup>1</sup>, Majid Soltani<sup>1\*</sup>, Hossein Bazmara<sup>2</sup>

1- Department of Mechanical Engineering, K. N. Toosi University of Technology, Tehran, Iran.

2- Department of Mechanical Engineering, Islamic Azad University Pardis Branch, Tehran, Iran.

\* P.O.B. 19395-1999 Tehran, Iran, msoltani@kntu.ac.ir

### ARTICLE INFORMATION

Original Research Paper

Received 20 January 2016

Accepted 14 February 2016

Available Online 26 March 2016

#### Keywords:

Angiogenesis Process

Tissue Engineering

Inosculation Strategy

Cellular Potts Model

### ABSTRACT

Tissue engineering has been a rapidly growing field of research for several decades, driven by the human urgent need for tissue substitutes and transplantable organs. Considering the advancements, the clinical applications in the field of tissue engineering have been limited until now. The major reason toward this limitation is the lack of sufficient blood supply for the tissue in the earliest phase after implantation. Time-consuming process of angiogenesis leads to inadequate vascularization and finally, death of cells and destruction of tissue. During recent years, by implementing a strategy called Inosculation, attempts have been made to facilitate tissue vascularization by a preformed vasculature network within tissue structure. In the current research considering cellular nature of angiogenesis process, relying on a cell-based mathematical model, the effect of inosculation strategy is investigated through the dynamics of angiogenesis process with respect to extracellular, cellular and intracellular spatio-temporal scales. The results show the advantages of inosculation strategy over angiogenesis strategy in vascularization of tissue constructs. The model demonstrates the capability of inosculation strategy to improve the anastomosis probability, which provides the crucial requisite for the blood to flow through capillary network. Furthermore, the cellular model was developed in such a way that the effects of extracellular matrix on morphogenesis through branching phenomenon are illustrated.

### - مقدمه

زیستی امکان متحول کردن مراقبت‌های پزشکی در آینده را فراهم می‌سازد [1]. اصولاً توانایی بافت برای ترمیم آسیب‌های وارد، وابسته به وجود سیستم خون‌رسانی مناسب است. به جهت همین اهمیت، در طی دو دهه گذشته توجه خاصی به تکنیک‌های پزشکی و مهندسی جهت ترمیم و

مهندسي بافت حوزه‌ای است که به دلیل نیاز فوری به جایگزینی اعضا و بافت در مراکز بیمارستانی به سرعت در حال رشد است. در حقیقت، ساخت بافت‌های مصنوعی مشابه بافت‌های طبیعی به‌وسیله ادغام علوم مهندسی و

برای ارجاع به این مقاله از عبارت ذیل استفاده نمایید:

H. Salavati, M. Soltani, H. Bazmara, Investigation on the effect of inosculation strategy on promoting vascularization in tissue engineering, *Modares Mechanical Engineering*, Vol. 16, No. 4, pp. 29-40, 2016 (in Persian)

شده را میسر سازد [8-6]. رویکرد آمیختگی به طور کامل مستقل از ضخامت بافت است، بنابراین امکان پیشرفت چشمگیری در بهره‌گیری از بافت‌های مهندسی شده در کاربردهای پزشکی را فراهم‌شده می‌کند.

رگ‌زایی به روند رشد عروق جدید خون از شبکه‌ی موجود رگ‌ها گفته می‌شود. رگ‌زایی علاوه بر مهندسی بافت، به عنوان عاملی مهم و ضروری در پیشرفت چندین پدیده زیستی، چه پدیده‌های معمول و چه پدیده‌های بیماری‌زا، از جمله رشد تومور و متاستاز<sup>7</sup> سرطان، و طیف وسیعی از بیماری‌های ایسکمیک<sup>8</sup> و التهابی نقش ایفا می‌کند.

رشد عروق جدید خونی در یک بافت کاشته شده پدیده‌ای پیچیده و پویا است. اولین مرحله در این پروسه، فعال کردن عروق بافت میزبان با استفاده از فاکتورهای رشد رگ‌زایی است [9]. این فاکتورها ممکن است توسط خود سلول‌های بافت میزبان در اثر آسیب و جراحتی که در کاشت بافت ایجاد شده است یا عکس‌العمل التهابی نسبت به کاشت بافت، تولید شوند [4]. از طرف دیگر، ثابت شده است این امکان وجود دارد که بافت مصنوعی طوری ساخته شود که با وجود سیستم پرتوغیری رسانی مصنوعی یا انواع مختلف سلولی در ساختار بافت، توانایی آزاد کردن فاکتورهای رشد رگ‌زایی از درون خود بافت کاشته شده ایجاد شود [10]. در این مدل مقصود این است که با مدل‌سازی محاسباتی فرآیند آمیختگی، امکان تشکیل شبکه عروقی پیوسته بین شبکه پیش‌ساخته بافت میهمان و شبکه عروقی بافت میزبان سنجیده شود. همچنین، سرعت و سازگاری این رویکرد جهت عروق دار کردن بافت‌های مصنوع نسبت به رویکرد رگ‌زایی مقایسه شود. از آنجا که مکانیزم زیستی درگیر در رویکرد آمیختگی، فرآیند رگ‌زایی است در ادامه پس‌زمینه‌های زیستی این فرآیند ذکر می‌شود.

رونده شروع و تکامل رگ‌زایی شامل چندین قدم اساسی است که در چندین مقیاس مکانی و زمانی اتفاق می‌افتد [11]. مرحله نخست، شامل فعال‌سازی سلول‌های اندوتیال و نشت پذیر شدن رگ والد<sup>9</sup> است. ثابت شده است که کمبود اکسیژن یا هایپوکسی<sup>10</sup> بزرگ‌ترین عامل آغاز رگ‌زایی در دوران جنبشی و همچنین دوران بزرگ‌سالی است [12]. درواقع رابطه‌ی نزدیکی بین کمبود اکسیژن و فعالیت فاکتورهای رگ‌زایی مانند فاکتور رشد اندوتیال عروقی<sup>11</sup> یا VEGF وجود دارد. هنگامی که سلول‌ها دچار کمبود اکسیژن شوند، فاکتورهای رگ‌زایی را تولید و آزاد می‌کنند. فاکتورهای رشد اندوتیال عروقی از عده‌ترین فاکتورهای رشد و تشکیل شبکه عروقی جدید<sup>12</sup> در طیف وسیعی از شرایط فیزیولوژیک و پاتولوژیک هستند و به همین علت بیشتر از سایر فاکتورهای رشد مورد مطالعه قرار گرفته‌اند [13]. پس از کم اکسیژنی سلول‌ها، فاکتورهای رگ‌زایی در بافت مجاور پخش می‌شوند و به گیرنده‌هایی که روی سلول‌های اندوتیال رگ‌های مجاور قرار دارد پیوند می‌خورند. متعاقباً، سلول‌های اندوتیال توسط فاکتورهای رگ‌زایی فعل می‌گرددند. فاکتورهای رگ‌زایی با این تحریک فتوتیپ<sup>13</sup> یا رخ‌مانه‌ی سلول‌های اندوتیال را از ساکن به فعل تغییر می‌دهد که منجر به ترشح آنزیم‌هایی برای تخریب لایه محافظ دور خود می‌شود که راه تکثیر و مهاجرت را برای سلول‌های اندوتیال فراهم می‌کند.

در مرحله دوم ضعیف سازی محلی غشای محافظ و ماتریس فرالسلولی<sup>14</sup>

جاگیرینی بافت و حتی تولید اعضای بدن شده است. انواع مختلف مواد زیستی و تکنیک‌های آماده‌سازی مختلف با بهره‌گیری از اصول علمی زیست‌شناسی، بیوشیمی و علم مواد در این حوزه به کار گرفته شد اما با همه‌ی این تلاش‌ها اهمیت نقش حیاتی خون‌رسانی آشکارتر شده است. این حساسیت به این دلیل است که بطور خاص، بقای سلول‌ها در سازه‌های مهندسی شده بافت، وابسته به تأسیس و توسعه سریع سیستم خون‌رسانی پس از کاشت بافت در بدن است. از دید زیستی، سلول‌های پستانداران برای حیات به اکسیژن و خوراک کافی نیاز دارند. بر همین اساس، سلول‌ها باید خوراک لازم را از خون و از طریق عروق خونی جذب کنند. تحقیقات نشان داده است که حداقل فاصله نفوذ اکسیژن در بافت موجودات زنده بین 100 تا 200 میکرومتر است [2]، بنابراین سلول‌ها برای حیات و رشد باید در چنین فاصله‌ای از عروق قرار بگیرند. ارگانیسم‌های سلولی‌ای که خارج از این محدوده قرار می‌گیرند برای رشد و بقای خود باید رگ‌های خونی جدیدی را در اطراف خود به وجود بیاورند. رگ‌زایی<sup>1</sup> یا نو رگ‌زایی وظیفه خون‌رسانی را با ایجاد یک شبکه از رگ‌های کوچک و بزرگ‌تر انجام می‌دهد تا اکسیژن و خوراک به خوبی در همه جای بافت پخش شود. در حوزه مهندسی بافت، رشد رگ‌های جدید در بافت به دلیل نرخ پایین نفوذ عروق در داریست<sup>2</sup>، پیچیده و دشوار است. این مسئله بطور کلی روند جایگزینی بافت را تحت تأثیر قرار می‌دهد که درنهایت باعث از بین رفتن بخش عظیمی از بافت‌های جاگذاری شده، بهویژه در بخش‌های میانی بافت‌های بزرگ‌تر سه‌بعدی، می‌شود [3]. به دلیل همین نقصان توسعه بحث مهندسی بافت در کاربردهای بالینی با مانعی بزرگ رویه‌رو شده است.

در طی سالیان گذشته، چندین نوآوری برای رگ دار<sup>3</sup> کردن بافت‌های کاشته شده در بدن ارائه شده‌اند که همگی بر اساس کنترل و نظرارت بر کاشت سلول‌ها در داریست‌های سه‌بعدی در آزمایشگاه بودند [4]. بالینی وجود، اثبات شده است که حتی با بهره‌گیری از مزایای این نوآوری‌ها سرعت مهاجرت سلول‌های اندوتیال<sup>4</sup> و رشد فیزیکی رگ‌های جدید به دلیل محدودیت فاصله پخش اکسیژن در بافت از حدود 5 μm/h تجاوز نمی‌کند [1]. در این شرایط، سلول‌های بافت، بهویژه سلول‌های واقع شده در مرکز سازه بافت، برای بقا دچار مشکل می‌شوند.

در طی سال‌های اخیر، دو رویکرد اساسی برای رگ دار کردن بافت‌های مصنوعی مطرح بوده است (شکل شماره 1). اولین رویکرد برای ایجاد رگ‌های خون در بافت از طریق جوانه‌زنی<sup>5</sup> و نفوذ رگ‌های بافت میزبان در بافت جاگذاری شده است [4]. مکانیزم جلوبرنده این رویکرد، فرآیند رگ‌زایی است. از سوی دیگر، بر اساس فرآیند رگ‌زایی و با به کار گیری تکنیکی نوین در فناوری ساخت بافت، رویکرد جدیدی بر اساس ایجاد شبکه عروقی پیش‌ساخته در آزمایشگاه با نام آمیختگی<sup>6</sup> برای نو رگ‌زایی مطرح شد [5]. در این رویکرد، قبل از کاشت بافت، در آزمایشگاه شبکه‌ای از مجرای‌های عروقی در بافت تعییه می‌شود. پس از زمان کاشت، این شبکه پیش‌ساخته می‌تواند با بهره‌گیری از فرآیند رگ‌زایی در زمان کوتاه‌تری و با احتمال بیشتری خون را به بافت موردنظر برساند. مزیت عمدی این رویکرد در این است که شبکه پیش‌ساخته عروقی پس از کاشت بافت می‌تواند به راحتی و با سرعت به شبکه‌ی عروق بافت میزبان وصل شود و ایجاد شبکه خونی برای بافت کاشته

<sup>7</sup> Metastasis

<sup>8</sup> Ischemic

<sup>9</sup> Parent vessel

<sup>10</sup> Hypoxia

<sup>11</sup> Vascular endothelial growth factor

<sup>12</sup> Neovascularization

<sup>13</sup> Phenotype

<sup>14</sup> Extracellular matrix

<sup>1</sup> Angiogenesis

<sup>2</sup> Scaffold

<sup>3</sup> Vascularization

<sup>4</sup> Endothelial

<sup>5</sup> Sprouting

<sup>6</sup> Inosculation

جدب‌کننده) و همچنین سیگنال‌های مکانیکی ناشی از لمس آرایی<sup>3</sup> (مهاجرت جهتی بهسوی گرادیان چسبندگی) است [16]. موتور محرک شیمی‌آرایی عامل‌های رشدی مانند VEGF هستند. عوامل دیگری مثل فاکتورهای رشد متأثر از پلاکات‌ها نیز در شیمی‌آرایی نقش دارند. لمس آرایی موجب افزایش میل به مهاجرت سلول‌های اندوتیال می‌شود. این مکانیسم در پاسخ به بند شدن اینتگرین<sup>4</sup> به اجزای ماتریس فراسلولی فعل می‌شود [17].

در فرآیند تکثیر، در طی مهاجرت سلول‌های اندوتیال در یک زنجیره سلولی، سلول‌های تیپ جلوهار حرکت این زنجیره به سمت منبع فاکتور رشد هستند [18]. پس از اینکه جوانه اولیه در ماتریس فراسلولی به پیش‌تر رفت، مشاهدات نشان داده‌اند که چندین بار سر هر زنجیره سلولی و سلول‌های تیپ به چند شاخه تقسیم می‌شوند. جوانه‌های مجاور یکدیگر ممکن است در طی فرآیندی به نام بازپیوند<sup>5</sup> به هم دیگر متصل شوند و یک حلقه بسته را تشکیل دهند. اتصال دو جوانه به یکدیگر زمانی اتفاق می‌افتد که یا دو سلول تیپ به همدیگر متصل شوند و یا یک سلول تیپ به جایی عقب‌تر از مکان سلول تیپ جوانه‌ای دیگر، سلول‌های اندوتیال، وصل شود. درنهایت و پس از بالغ شدن رگ‌های جوان، جریان خون در این شبکه به راه می‌افتد.

رگ‌زایی شامل پیچیدگی‌هایی در ماهیت خود است که شامل پدیده‌هایی در چندین مقیاس مکانی و زمانی است. علاوه بر این مطلب، برهمکنش‌های گوناگون و پیچیده‌ای بین خود سلول‌ها و بین سلول‌ها و ماتریس فراسلولی وجود دارد. دشواری در نظر گرفتن این تنوع مقیاسی، انجام آزمایش‌هایی جامع برای بررسی تمام برهمکنش‌های اثربار در پیشبرد پروسه رگ‌زایی را دچار مشکل می‌کند. اما به هر نحو، تاکنون نتایج به دست آمده از این آزمایش‌ها اطلاعاتی مفیدی در مقیاس‌های گوناگون به جا گذاشته است. با این وجود در اختیار داشتن یک سیستم جامع برای مطالعه مؤثر پدیده‌هایی مانند رگ‌زایی که همه جنبه‌های مختلف در مقیاس‌های زمانی و مکانی شامل شود لازم و حیاتی است. این چالش زمانی سخت‌تر می‌شود که بدانیم هر بخشی از اطلاعات و حقایقی که در اختیار محققان است، نتیجه پژوهش‌های گسترده گروههای تحقیقاتی مختلف در مسائل گوناگون است که به دست آوردن تصویری واضح از کلیت آن مدل‌سازی‌ها مانند قرار دادن صحیح قطعه‌های ریز یک جورچین در کنار یکدیگر است. در این میان، منطق ریاضی و شبیه‌سازی‌های محاسباتی، به عنوان ابزاری کلیدی می‌توانند این طیف گسترده داده‌ها را در یک مدل جامع به نمایش بگذارند و این داده‌های را منسجم کنند.

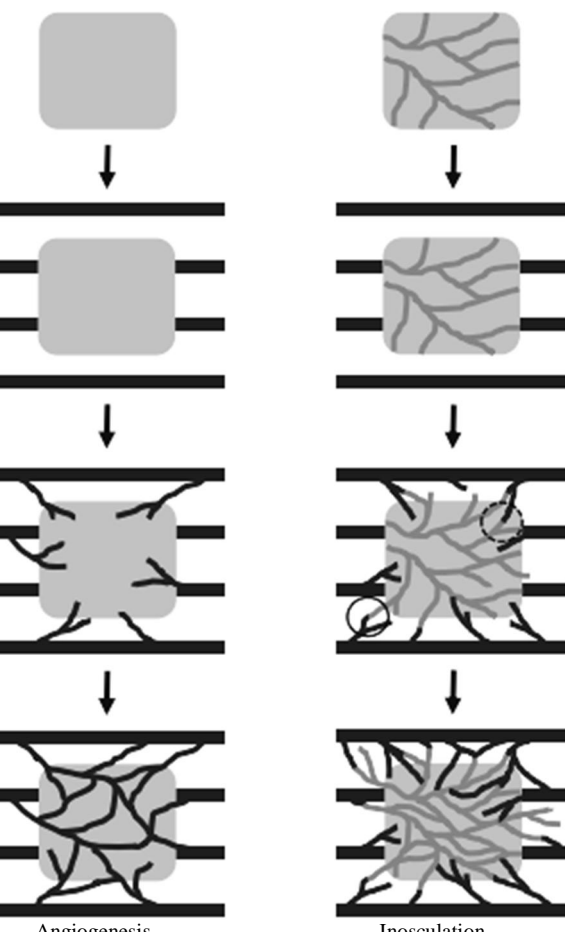
مدل‌های ریاضی و محاسباتی رگ‌زایی دانش‌پایه در مورد فرآیند تشکیل عروق و درک آسیب‌های ناشی از وجود یا عدم وجود رگ‌زایی را در اختیار مهندسی گذازد. این مدل‌ها همچنین با هدف تقویت و توسعه تحقیقات حوزه مهندسی پژوهشکی کاربردی توسعه یافته‌اند. در افق دید این مدل‌ها، یافتن درمان‌های نوین و روش‌های متناسب بالینی برای هدف منع یا تحریک رگ‌زایی قرار دارد. انجیزه و هدف این مدل‌ها یافتن داروهای مفید یا رویکرد ترکیب داروها و پیشرفت در مهندسی سازه‌ی بافت‌ها در خارج بدن<sup>6</sup> است.

مدل‌های ریاضی برای شبیه‌سازی سیستم‌های زیستی از جمله رگ‌زایی، به‌طور کلی به دو دسته مدل‌های پیوسته و گستته تقسیم می‌شوند [19]. در مدل‌های پیوسته رفتار سیستم به صورت پیوسته و همگون دیده می‌شود و غالباً پارامتر چگالی، به عنوان مثال چگالی سلولی، از دیدگاه ماکرو بررسی

با ECM آغاز می‌شود. این کار توسط پروتئاز‌های ترشح شده از سلول‌های اندوتیال صورت می‌گیرد. پروتئازها آنزیم‌هایی هستند که پروتئین‌ها را تجزیه می‌کنند. برای به وجود آمدن امکان مهاجرت باید از سه مانع بر سر راه خود عبور کنند. نخستین مانع غشای محافظ است که بین سلول‌های اندوتیال و سلول‌های بافت نرم قرار دارد. غشای محافظ لایه خارجی مویرگ‌های خونی را می‌پوشاند و این اعتقاد وجود دارد که پایداری رگ، نفوذناپذیری و مقاومت در برابر فشار هیدرولیک جریان خون از اثرات این لایه است [14]. مانع دوم ماده ژله مانندی است که از رگ نشت می‌کند و مانع سوم ماتریس فراسلولی مجاور سلول هدف می‌باشد. هم‌زمان با برهمکنش سلول‌های اندوتیال با ماتریس فراسلولی آزاد شوند، از این‌رو ضعیف‌سازی محلی غشای محافظ و غیره نه تنها امکان مهاجرت سلول‌های اندوتیال را فراهم می‌کند، بلکه با آزاد شدن فاکتورهای رشد مانند VEGF محرك‌های رگ‌زایی تقویت می‌شوند [15].

در مرحله پایانی، تکثیر و مهاجرت سلول‌های اندوتیال اتفاق می‌افتد. تخریب ماتریس اطراف رگ، از جمله مانع‌های فیزیکی، به اندوتیال‌ها اجازه می‌دهد که تکثیر شوند و مهاجرت کنند.

مهاجرت سلول‌های اندوتیال در پاسخ به سیگنال‌های شیمیابی ناشی از شیمی‌آرایی<sup>2</sup> (مهاجرت مستقیم در جهت گرادیان عامل شیمیابی



**Fig. 1** A schematic illustration of the two principal vascularization strategies in tissue constructs, Angiogenesis and Inosculation [1]

شکل ۱ نمایی ساده از دو رویکرد اصلی تشکیل عروق خونی در سازه‌های بافت رگ‌زایی و آمیختگی [1]

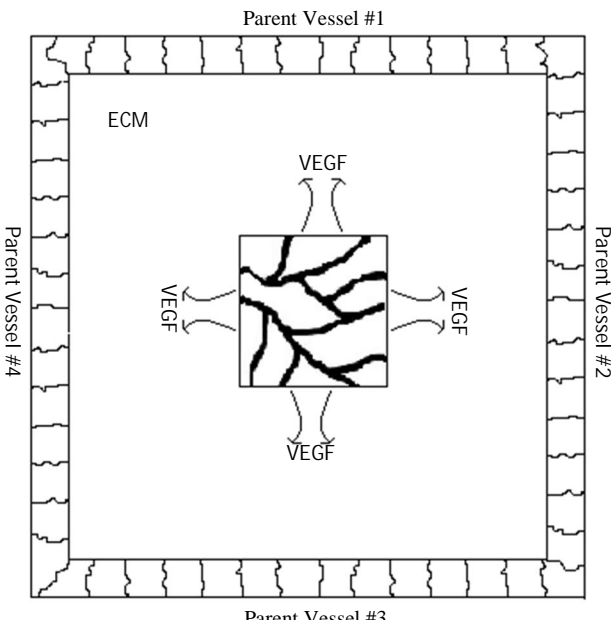
<sup>1</sup> Proteases  
<sup>2</sup> Chemotaxis

رگ‌زایی را از طریق برهمنکنش‌های ذاتی سلول‌ها شبیه‌سازی کنند. اخیراً، بزم‌آرا و همکاران [33,32] نیز با توسعه مدل بوئر و همکاران توانستند اثر جریان خون بر فرآیند رگ‌زایی را به دستاوردهای قلبی اضافه کنند. با این تفاسیر، تا کنون سیر توسعه مدل‌های رگ‌زایی متمایل به رگ‌زایی متأثر از تumor بوده است. در این پژوهش سعی شده است با اجماع دستاوردهای مدل‌های ذکر شده، توصیفی واقع‌گرایانه از فرآیند رگ‌زایی و تأثیر استراتژی آمیختگی در مهندسی بافت ارائه شود.

## 2- دامنه و هندسه مدل

ناحیه مورد بررسی در این مدل‌سازی، یک ناحیه مریعی به ضلع  $500 \mu\text{m}$  است که چهار رگ والد مجزا بر چهار ضلع آن واقع شده‌اند. در مرکز ناحیه یک سازه بافت قرار گرفته است که فرض شده است به تازگی در بافت ایجاد شده است. بر مبنای رویکرد آمیختگی، یک شبکه پیش‌ساخته عروقی در این بافت مصنوع تعییه شده است. حدفاصل بین رگ‌های والد و بافت میهمان از ماتریس فراسلولی پرشده است. نمایی ساده از ناحیه مورد بررسی مدل در شکل 2 ارائه شده است.

ماتریس فراسلولی محیطی است که بخش عمده آن از مایع میان بافتی<sup>3</sup> تشکیل شده است ولی اجزای دیگری آن از جمله فیبرهای ماتریس و سلول‌های بافت نقش اصلی را در فرآیند رگ‌زایی بر عهده دارند. تراکم این اجزا و نحوه قرار گرفتن آن‌ها، نقش مهمی در فرآیند رگ‌زایی دارد. با پخش فاکتورهای رشد و رسیدن آن به دیواره‌ی رگ‌های والد، تعدادی از سلول‌های اندوتیال از رگ والد جداسده و شروع به مهاجرت در جهت مثبت این گرادیان (به سمت منبع فاکتور رشد) می‌کنند. درنهایت زنجیره‌ای به‌هم‌پیوسته از این سلول‌ها تشکیل یک رگ جدید داده که پس از اتصال به یکدیگر جریان خون در آن برقرار می‌شود و با رسیدن این شاخه به سلول‌های



**Fig. 2** An illustration of model's geometry. Four parent vessels located at the four side of the domain and the tissue construct implanted in the center of domain

شکل 2 نمایی از هندسه مدل. چهار رگ والد در چهارسوی دامنه و سازه بافت در مرکز دامنه قرار دارد

<sup>3</sup> Interstitial fluid

سیستم موردنظر قرار می‌گیرد [20]. همچنین پدیده نفوذ و پخش مواد شیمیایی، حرکت سیالات زیستی و فعل و انفعالات مکانیکی بافت نیز با استفاده از مدل‌های پیوسته قابل توصیف است. در طرف دیگر، مدل‌های گستته یا مدل‌های مبتنی بر سلول رفتار هر جز را به صورت واحدی جداگانه بررسی می‌کنند [21]. درمجموع، هرکدام از مدل‌های ارائه شده دارای اشکالات و نواقصی می‌باشند. در مورد مدل‌های پیوسته، تغییرات سیستم در مقیاس‌هایی بزرگ‌تر از مقیاس سلولی مورد مطالعه قرار می‌گیرد، حال آنکه اساس فرآیند رگ‌زایی در مقیاس سلولی است. با این وجود مدل‌های پیوسته می‌توانند بخشی از مدل‌سازی رگ‌زایی مانند پدیده پخش فاکتور رشد یا چگالی عروق را شبیه‌سازی کنند.

برای رهایی از محدودیت مقیاس مدل‌های پیوسته، مدل‌های گستته به عنوان جانشینی برای واقعی تر کردن مدل‌های محاسباتی به میدان آمدند. هدف مدل‌های گستته تعیین کردن رفتار سیستم در مقیاس سلولی به جای متوسط متغیرهای پیوسته است. این رویکرد موجب می‌شود خصوصیات ماکروسکوپیکی همچون دوشاخه شدن<sup>1</sup> و تشکیل حلقه عروق نیز قابل بررسی شود. مدل‌های گستته بر اساس تشریح پدیده‌ای سلول‌های منفرد با استفاده از دستگاهی از معادلات دیفرانسیل در فضای گستته (برای مثال گره‌ها در یک شبکه) یا با استفاده از الگوریتم‌های شرطی محاسباتی عمل می‌کنند. نسخه‌های متنوعی از مدل‌های گستته وجود دارند. مدل ماشین سلولی، مدل مبتنی بر عامل، مدل مبتنی بر نیرو و مدل سلولی پاتس انواع مدل‌های کاربردی گستته هستند. عملکرد این مدل‌ها تا حد زیادی با آنچه در طبیعت فرآیند رگ‌زایی اتفاق می‌افتد همساز است اما، نقطه ضعف این مدل‌ها در این است که بخشی از رفتارها و نتایج مدل به صورت مصنوعی به آن القا می‌شود. به عبارت دیگر، برخی از نتایج و رفتارها توسط خود مدل تولید نمی‌شود بلکه خروجی مدل از پیش تعیین شده است. در مدل پیش رو سعی شده است تا این نواقص تا حد زیادی برطرف شود. برای این مهم، لازم است مقیاس سلولی در مدل دیده شود تا هم برهمکنش‌های بین سلول‌ها و بین سلول و ماتریس فراسلولی در محاسبات وارد شود تا در نهایت، نتایج بر اساس آن‌ها از مدل خارج شود.

در ذکر کارهای پیشین باید توجه داشت که تاکنون تحقیقات انگشت‌شماری به طور خاص در حوزه مدل‌سازی محاسباتی رگ‌زایی در مهندسی بافت به انجام رسیده است که از مهم‌ترین آن‌ها می‌توان به کارهای پیرس و همکاران [22] و جبار زاده و آبرامز [23] اشاره کرد. با این وجود، شباهت مکانیزم‌ها در فرآیند رگ‌زایی متأثر از tumor<sup>2</sup> با فرآیند رگ‌زایی در بافت راه را برای درک و مطالعه بیشتر باز می‌کند. فاز عروقی tumor به قدری مورد توجه محققان بوده است که بیشتر مدل‌های ریاضیاتی و محاسباتی توسعه داده شده برای شبیه‌سازی رگ‌زایی متأثر از tumor بوده است.

از مهم‌ترین کارهای انجام شده در زمینه مطالعه فرآیند رگ‌زایی، می‌توان به کارهای استوکس و لافنبرگ [24]، ارمه و چاپلین [25]، اولسن و همکاران [26]، اندرسون و چاپلین [27]، لواین و همکاران [28]، پلانک و اسلیمن [29] اشاره کرد. بطور کلی بیشتر مدل‌های ذکر شده از این نظر نقص داشتند که یا به دلیل رویکرد پیوسته‌شان نتوانستند باز تولیدی واقع‌گرایانه از فرآیند رگ‌زایی داشته باشند و یا با استفاده از قواعدی پیش‌ساخته نتایج دلخواه را از مدل‌های گستته خارج می‌کردند. در اواخر دهه گذشته میلادی، بوئر و همکاران [31,30] با تولید مدلی مبتنی بر سلول توانستند دینامیک واقعی

<sup>1</sup> Branching

<sup>2</sup> Tumor-induced angiogenesis

(VEGF) در ناحیه مسئله است.  $D$  در این معادله ضریب پخش VEGF است که مقداری مثبت است و این گونه فرض شده است که در تمام ناحیه شبیه‌سازی همگن است و مقداری ثابت دارد. نرخ از بین رفتن فاکتور رشد در بافت،  $> 0$ ، نیز ثابت فرض شده است.  $B(x, y, V)$  تابعی است که مصرف فاکتور رشد توسط سلول‌های اندوتیال را نشان می‌دهد. در واقع آنچه به عنوان مصرف فاکتور رشد توسط سلول‌های اندوتیال تعییر می‌شود، عبارت است از پیوستن فاکتور رشد به گیرنده‌های سطحی در سلول‌های اندوتیال که موجب فعال شدن فعل و افعالات در درون سلول می‌شود. حداکثر مقداری از VEGF در واحد زمان را که یک سلول اندوتیال می‌تواند بارگیری و استفاده کند با  $\beta$  نشان می‌دهند. مقدار  $\beta$  با در نظر گرفتن تعداد و عملکرد گیرنده‌های سطحی سلول‌های اندوتیال محاسبه شده است و برابر با ۰.۰۶۰ Pg/cell/h (پیکوگرم به ازای هر سلول در هر ساعت) است [31].

در مقایسه با مقیاس زمانی مهاجرت و تکثیر سلول‌های اندوتیال، جذب فاکتور رشد اندوتیال عروقی توسط گیرنده‌های سطحی سلول‌های اندوتیال بسیار پرسرعت است. بنابراین می‌توان فرض کرد که مقدار فاکتوری که یک سلول اندوتیال می‌تواند جذب کند کمتر از مقدار غلظت موجود در محل قرارگیری سلول است و درنهایت می‌تواند مقداری برابر حداکثر فاکتور بارگیری شده توسط سلول اندوتیال بگیرد. این فرض را می‌توان با تابع (2) به این شیوه بیان کرد:

$$B(x, y, V) = \begin{cases} \beta & \text{if } \beta \leq V \\ V & \text{if } V \geq 0 \\ 0 & \text{otherwise} \end{cases} \quad (2)$$

در ابتدای شروع فرآیند رگزایی، مقدار VEGF در بافت صفر است. با فرض اینکه سلول‌های سازه بافت پس از کم اکسیژن شدن شروع به ترشح مقداری معین VEGF می‌کنند، مقدار VEGF موجود در مرکز ناحیه مسئله به دست می‌آید. با در نظر گرفتن نرخ ثابتی برای از بین رفتن VEGF، می‌توان فرض کرد غلظت VEGF در مرازهای بافت کاشته شده پس از مدتی به مقدار ثابتی می‌رسد. از حل معادله (1) نیز این درستی این فرض آشکار می‌شود [30]. با این توضیح، شرایط مرزی و اولیه برای حل معادله (1) به صورت زیر هستند:

$$V(x, y, 0) = 0, \quad (3\text{-الف})$$

$$V(0, y, t) = V(L_1, y, t) = V(x, 0, t) = V(x, L_1, t) = 0 \quad (3\text{-ب})$$

$$\begin{aligned} V(L_2, y, t) &= V(L_1 - L_2, y, t) = V(x, L_2, t) \\ &= V(x, L_1 - L_2, t) = S \end{aligned} \quad (3\text{-ج})$$

در معادله (3)،  $L_1$  طول ضلع ناحیه حل و  $L_2$  فاصله رگ‌های والد تا سازه بافت است.  $S$  مقدار غلظت موجود در مرازهای سازه بافت میهمان با بافت میزبان است. آنالیز ابعادی معادله (1) با توجه به مقیاس‌های مدل نشان می‌دهد که غلظت VEGF در بافت به سرعت به حالت پایابی می‌رسد، به علاوه نتایج حل معادله (3) نیز همین مطلب را نشان می‌دهد.

### 3- مقیاس بین سلولی

در مقیاس سلولی یا بین سلولی آنچه مهم است تعامل و برهمنکش‌هایی است که در ابعاد سلولی انجام می‌پذیرد. در فرآیند رگزایی این فل و افعالات را می‌توان به دو دسته تقسیم کرد. اول، برهمنکش‌های بین سلول - سلول و دوم، برهمنکش‌های بین سلول و ماتریس فراسلولی. سلول‌های اندوتیال در تعاملی دائم با یکدیگر و اجزای ماتریس فراسلولی، رفتار خود را در رشد و مهاجرت تنظیم می‌کنند.

مدل سازی صریح بافت همبند و ماتریس فراسلولی از ویژگی‌های این

کم اکسیژن، منبع خوراک و اکسیژن به صورت مستقیم برای بقا و رشد آن‌ها در اختیار خواهد بود.

برد نفوذ اکسیژن در بافت در حدود ۱۰۰ میکرومتر است [2] و آزمایش‌ها نیز نشان داده‌اند که آغاز فرآیند رگزایی در فاصله‌ای بیشتر از این حد است [34]. بدین معنی که شرط لازم برای شروع فرآیند رگزایی فاصله‌ی بیش از ۱۰۰ میکرومتر بین ناحیه دچار کمبود اکسیژن و رگ‌های والد است. بنابراین در این مدل فاصله بین رگ والد و سازه بافت ۲۰۰ میکرومتر در نظر گرفته شده است. با انتخاب این ابعاد برای مدل، دینامیک اصلی در برهمنکش بین سلول‌ها و بین ماتریس و سلول خواهد بود و از طرف دیگر فضای کافی نیز برای رشد جوانه و مشاهده پدیده‌های مثل دوشاخه شدن و بازپیوند نیز وجود خواهد داشت.

### 3- ساختار مدل

فرآیندهای اثرگذار در رگزایی به طور طبیعی به سه طبقه بر اساس مقیاس‌های زمانی و مکانی تقسیم می‌شوند: مقیاس فراسلولی، مقیاس بین سلولی و مقیاس درون‌سلولی.

در مقیاس فراسلولی، فاکتورهای رگزا از طریق بافت همبند پخش می‌شوند. در مقیاس بین سلولی یا سلولی، سلول‌ها با یکدیگر و ماتریس فراسلولی برهمنکش دارند. در مقیاس درون‌سلولی، مسیرهای انتقال سیگنال‌ها درون هر سلول رفتار آن سلول را کنترل می‌کنند. در این فصل با توجه به این سه مرتبه از طریق شبیه‌سازی فرآیند رگزایی ارائه می‌شود. این مدل مبتنی بر سلول، یک مدل دورگه<sup>1</sup> است. بدین معنی که از خواص مدل‌های پیوسته و گسسته به طور همزمان بهره می‌گیرد. در مقیاس فراسلولی، یک معادله دیفرانسیل جزئی پدیده پخش، جذب فاکتور رشد توسط سلول‌های اندوتیال و فاسد شدن فاکتور رشد اندوتیال عروقی یا VEGF را شبیه‌سازی می‌کند. دینامیک مرتبه سلولی با استفاده از یک مدل شبکه گسسته مونت‌کارلو<sup>2</sup> یا مدل سلولی پاتس<sup>3</sup> در مدل سازی وارد می‌شود. مدل سلولی پاتس، مهاجرت، رشد، تکثیر و چسبندگی سلولی و همچنین برهمنکش سلول‌ها با ماتریس فراسلولی را در نظر می‌گیرد. با این معماری مدل، محیط‌های فراسلولی و سلولی به طور دائم بر هم اثر می‌گذارند.

### 1-3- مقیاس فراسلولی

بعد از کمبود اکسیژن در بافت، سلول‌ها شروع به ترشح فاکتورهای محرك رگزایی می‌کنند. پخش VEGF در بافت موجب ایجاد گرادیان غلظت بین سازه بافت و رگ‌های والد می‌شود که درنهایت موجب تحريك سلول‌های اندوتیال رگ‌ها می‌شود. VEGF از طریق بافت همبند<sup>4</sup> نفوذ می‌کند و توسط سلول‌های اندوتیال جذب می‌شود. در صورت جذب نشدن VEGF از دست می‌دهد و فاسد می‌شود. با توجه به هندسه ناحیه حل می‌توان پدیده پخش فاکتور رشد اندوتیال عروقی را توسط یک معادله پخش با تغییراتی جزئی بیان کرد [30]:

$$\frac{\partial V}{\partial t} = D \nabla V^2 - \lambda V - B(x, y, V) \quad (1)$$

در معادله (1)،  $V(x, y, t)$  غلظت فاکتور رشد اندوتیال عروقی

<sup>1</sup> Hybrid

<sup>2</sup> Monte Carlo

<sup>3</sup> Cellular Potts Model

<sup>4</sup> Stroma

همیلتونین حالت پهینه تغییرات سیستم را می‌یابد. شبیه‌سازی در یک حالت اولیه مثلا A شروع می‌شود. انرژی یا همیلتونین این حالت را می‌توان با نماد  $E_A$  نشان داد. سپس بر اساس قواعدی، الگوریتم مدل حالت A را تغییر می‌دهد و در حالت جدید B قرار می‌گیرد و انرژی این حالت را با  $E_B$  نشان می‌دهد. در این نقطه دو حالت برای تعادل سیستم وجود دارد. اگر  $E_A < E_B$  یا به عبارتی  $\Delta E < 0$  باشد آنگاه احتمال این تغییر برابر 1 است. در طرف مقابل، اگر  $E_B > E_A$  یا  $\Delta E > 0$  آنگاه احتمال اتفاق افتادن این تغییر بر اساس توزیع بولتزمان<sup>2</sup> تعیین می‌گردد.

مدل سلولی پاتس ناحیه حل مسئله را به سه قسمت اصلی ماتریس فراسلولی، سلول‌های اندوتیال و سازه بافت تقسیم‌بندی می‌کند. هر کدام از این بخش‌ها تعدادی از شبکه‌ها را در دامنه حل اشغال می‌کنند. نشان‌دهنده مجموعه اعضای حاضر در شبکه مدل است، نوع هر یک از اعضاء با نماد اختصاصی نشان داده می‌شود. در این مدل، e سلول‌های اندوتیال، t سلول‌های بافت، m فیبرهای ماتریس، f مایع میان بافتی و c سازه بافت می‌باشند. در شکل 3 پیکربندی ناحیه موردنظر در این مدل با توجه به شبکه‌ی مدل سلولی پاتس نشان داده شده است [30].

باید توجه داشت که یک سلول با توجه به اندازه‌اش می‌تواند چند شبکه را در بر بگیرد، به عنوان مثال، تمام شبکه‌های که در شکل 3 با e علامت‌گذاری شده‌اند، نماینده تنها یک سلول اندوتیال هستند.

در الگوریتم برنامه‌نویسی این مدل به هر کدام از سلول‌ها و اجزای ماتریس فراسلولی شبکه در طول همه محاسبات، یک عدد منحصر به‌فرد اختصاص داده می‌شود. در مورد سلول‌های اندوتیال چون این سلول‌های تکثیر می‌شوند به هر سلول جدید، عددی جدید نسبت داده می‌شود. ۵ نمایش‌دهنده این شماره‌ها است که برای سلول‌های بافت عدد سه، کل فیبرهای ماتریس عدد دو، برای مایع میان بافتی عدد یک و برای سازه بافت می‌باشند عدد صفر انتخاب می‌شود (شکل 4). لازم به ذکر است به دلیل عدم برهمنکش بین سلول‌های اندوتیال و سلول‌های سازه بافت تا رسیدن جوانه‌ها به شبکه پیش‌ساخته (پایان شبیه‌سازی)، برهمنکش‌های سلول‌های سازه بافت در مدل در نظر گرفته نشده است.

در مدل سلولی پاتس، بر پایه عکس العمل سلول‌ها به رخدادهای زیستی شیمیایی و مکانیکی، جمله‌هایی در فرم همیلتونین پاسخ سلول‌ها به هر یک از این رخدادها را توصیف می‌کند. در این مدل چهار انرژی یا جمله همیلتونین رفتار سلولی را تنظیم و کنترل می‌کند. بخش نخست، انرژی چسبندگی سلول‌های به یکدیگر و اجزای ماتریس فراسلولی را توصیف می‌کند. بخش دوم، مربوط به انرژی لازم برای رشد سلول‌های اندوتیال است. بخش سوم مربوط به مهاجرت سلول با استفاده از مکانیزم شیمی‌آرایی است. درنهایت انرژی لازم برای حفظ پیوستگی سلول‌ها در مدل اضافه می‌شود. در این چهارچوب هر نهاد یا وجودی یک حجم معین و شکلی قابل تغییر دارد و برای تصاحب جای بیشتر با سایر اعضاء در رقابت است.

چسبندگی سلولی از مهم‌ترین ویژگی‌های زیستی است که موجب پایداری و حفظ ساختارهای چند سلولی می‌شود. چسبندگی سلولی هسته اصلی بسیاری از فرآیندهای ریختزا است که برهمنکش‌های بین سلول‌ها را کنترل می‌کند. مهاجرت سلولی و دسته‌بندی سلولی<sup>3</sup> مثال‌های از فرآیندهای مهم ریختزا هستند که توسط چسبندگی کنترل می‌شوند. انرژی چسبندگی ناشی از پیوندهای هیدروژنی و یونی سلول‌ها است که موجب نگهداری

مدل است. اجزای اصلی مؤثر ماتریس فراسلولی شامل فیبرهای ماتریس، مایع میان بافتی و سلول‌های بافت است که در کنار یکدیگر یک ساختار ناهمگن را ساخته‌اند. فیبرهای ماتریس نقش عملدهای را در فرآیند مهاجرت سلول‌های اندوتیال بازی می‌کنند و سلول‌های بافت نیز نقش مهمی در تعیین الگوی شبکه عروقی ایفا می‌کنند. خواص این سلول‌ها تعیین کننده رفتار و خواص بافت است. در این تحقیق با در نظر گرفتن نتایج مطالعه تأثیرات اجزای ماتریس بر فرآیند رگزایی [31]، تفاوت‌های اساسی در الگوی مهاجرت و ریختزا ری در صورت وجود یا عدم وجود برخی از این اجزا مانند سلول‌های بافت، موردمطالعه و شبیه‌سازی قرار گرفته می‌گیرد. در این مدل فرض شده است که سلول‌های بافت بی‌حرکت هستند و اندازه آن‌ها حدوداً برابر با اندازه سلول‌های اندوتیال است [35] و مانعی فیزیکی برای حرکت آزادانه سلول‌های اندوتیال هستند. درنتیجه، سلول‌های بافت برای تصاحب فضا با دیگر سلول‌ها رقابت می‌کنند و در برابر مهاجرت و تکثیر سلول‌های اندوتیال مقاومت می‌کنند. از سوی دیگر، ثابت شده است که فیبرهای ماتریس بسته به چگالی و توزیع شان در ماتریس فراسلولی بر ریختزا و رگزایی تأثیر می‌گذارند [31].

فرآیند رشد رگ‌های جدید فرآیندی است که در آن سلول‌ها به عنوان واحدهایی مجزا، بدین معنی که هر کدام به تنها یک رفتار خود را مشخص می‌کنند، با یکدیگر و ماتریس اطراف خود تعامل و برهمنکش دارند. بر همین بنیان، در این تحقیق مدل سلولی پاتس به عنوان چارچوب اصلی برای شبیه‌سازی رفتار سلولی در نظر گرفته شده است تا برهمنکش‌های بین سلول‌های اندوتیال و بین سلول‌های اندوتیال و اجزای ماتریس فراسلولی در مدل در نظر گرفته شود. مدل سلولی پاتس مدلی است که بر مبنای اصول کمینه‌سازی انرژی کار می‌کند. در این مدل که توسط گلیزیز و گرانتر پایه‌ریزی شده است هر تغییر امکان‌پذیر باید به گونه‌ای به پیش رود که انرژی کل سیستم در اثر این فعالیت کاهش بیابد. در زمینه شبیه‌سازی پدیده‌های زیستی مدل سلولی پاتس تاکنون در زمینه‌های متنوعی از جمله تکثیر سلولی و رشد بافت [36]، رشد تومور غیر عروقی [37] و گسترش سرطان [38] مورد قرار گرفته است. ساختار این روش اجازه می‌دهد که المان‌های داخلی یک سیستم پیچیده مورد بررسی قرار بگیرد و با پیش‌بینی نحوه رفتار آن‌ها با یکدیگر، مشی کلی سیستم تعیین گردد. به عبارت دیگر در مدل پیش رو، اجزا و دینامیک میکروسکوپی سیستم را به عنوان ورودی مدل سازی در نظر می‌گیرد و درنهایت، علاوه بر شبیه‌سازی فرآیندهای بین سلولی، رفتار سیستم در مقیاس ماکروسکوپیک را به عنوان خروجی تحويل دهد. در این تحقیق از این مدل برای شبیه‌سازی فرآیند رگزایی و پدیده‌های اساسی آن توسعه یافته است.

در مدل سلولی پاتس معیاری که به عنوان انرژی سیستم تعریف می‌شود که همیلتونین<sup>1</sup> نام دارد. برای هر پدیده بیومکانیکی و بیوشیمیایی شناخته شده در مقیاس سلولی یک انرژی می‌شود که با تغییرات در فعل و افعالات سلولی آن انرژی‌ها نیز بسته به رفتار سیستم کاهش یا افزایش می‌یابند. مقدار همیلتونین احتمال رخ دادن تغییرات در سیستم را تعیین می‌کند. به عنوان مثال، افزایش حجم سلول و با حرکت سلول به سمت گرادیان فاکتور رشد، باعث کاهش مقدار همیلتونین شده و در مقابل تغییرات غیرمحتمل، مانند حرکت سلول در خلاف جهت گرادیان فاکتور رشد، باعث افزایش مقدار همیلتونین می‌شود. مدل سلولی پاتس با توجه به تغییرات

<sup>2</sup>Boltzman

<sup>3</sup>Cell sorting

<sup>1</sup> Hamiltonian

حد رشد یک سلول، حجم هدف می‌گویند. پس از رسیدن حجم سلول در حال رشد به حجم هدف، در طی فرآیندهایی درونسلولی، سلول وارد چرخه تقسیم میتوز<sup>2</sup> می‌شود و به دو سلول مجزا تقسیم می‌شود. این حجم در محاسبات دو برابر حجم اولیه در نظر گرفته شده است.

با در نظر گرفتن طبیعت سیستم، هرگونه تفاوت حجم سلول با حجم هدف موجب مقدار انرژی ای را به انرژی کل اضافه می‌کند، به صورتی که رشد سلول تا رسیدن به حجم هدف تضمین شود. انرژی لازم برای فرآیند رشد سلولی یا قید حجم را با  $E_{\text{volume}}$  نشان می‌دهند و به صورت رابطه (5) تعریف می‌شود:

$$E_{\text{growth}} = \sum_{\text{cell}} \gamma_e (a_\sigma - A_\sigma^T)^2 \quad (5)$$

در معادله (5)،  $\gamma_e$  ثابت مقاومت سلول‌های اندوتیالی در مقابل تغییر حجم است که به عنوان الاستیسیتیه سلول‌های اندوتیالی تعریف می‌شود.  $a_\sigma$  حجم سلول و  $A_\sigma^T$  نیز حجم هدف سلول‌های اندوتیالی هستند. در این تحقیق فرض شده است که بدون هیچ نیروی خارجی دیگری و با خوراک کافی، سلول‌های اندوتیالی با استفاده از این انرژی تا رسیدن به دو برابر حجم اولیه خود رشد می‌کنند به حجم هدف می‌رسند.

جمله‌ی بعدی در انرژی کل مربوط به انرژی لازم برای مهاجرت سلول‌های اندوتیال است. مهاجرت سلول‌های اندوتیال اصلی ترین مرحله در فرآیند رگزایی است. سه مکانیزم عمده در مهاجرت سلول‌های اندوتیال نقش دارند. این سه مکانیزم شیمی‌آرایی، لمس‌آرایی و مکانیک‌آرایی<sup>3</sup> هستند. بطور کلی مهاجرت سلول‌های اندوتیال در فرآیند رگزایی ترکیبی از این سه مکانیزم است [16]. شیمی‌آرایی توسط فاکتورهای رشدی مانند VEGF و bFGF کنترل می‌شوند. لمس‌آرایی از اتصال بین اینتگرین و اجزای ماتریس فراسلولی مانند فیبرونکتین و کلاژن ایجاد می‌شود که جهت و گام مهاجرت لمس‌گونه را تعیین می‌کند [40]. سلول‌های اندوتیال در لایه درون رگ‌های خونی قرار می‌گیرند. از این جهت، آن‌ها دائماً در تماس با جریان خون هستند که موجب ساخته شدن مکانیزم سوم مهاجرت سلول‌های اندوتیال می‌شود. مکانیک‌آرایی ربط مستقیمی به تنفس برشی خون دارد و نقش مهمی در ملزمات مهاجرت از جمله چسبندگی به ماتریس فراسلولی دارد [40]. با در نظر داشتن هدف این تحقیق که همان مدل سازی امکان اجرای رویکرد آمیختگی و اتصال عروق میزبان به شبکه از پیش ساخته است، تنها دو مکانیزم شیمی‌آرایی و لمس‌آرایی در این مدل در نظر گرفته شده‌اند.

لمس‌آرایی حرکت جهت‌دار سلول‌های را موجب می‌شود. این حرکت به وسیله اتصالات جانبی ناشی از چسبندگی سلولی کنترل می‌شود. از آنجایی که انرژی‌های چسبندگی متفاوتی بین اجزای مدل آمده است، مدل به صورت ذاتی انرژی مهاجرت ناشی از لمس‌آرایی را در خود دارد. این یکی از برتری‌های این مدل بر مدل‌های قبلی گسته مانند کار چاپلین و همکاران [20] است.

شیمی‌آرایی اساساً توسط گرادیان VEGF به حرکت درمی‌آید، بنابراین یک نسبت ساده با گرادیان VEGF می‌تواند نشانگر سهم انرژی شیمی‌آرایی در انرژی کل باشد. با مطالعه پدیده شیمی‌آرایی می‌توان دریافت که سلول‌های اندوتیال وادر می‌شوند در جهت افزایش غلظت یا گرادیان VEGF حرکت کنند و سرعت این حرکت رابطه مستقیمی با گرادیان VEGF دارد [30]. محیط ماتریس فراسلولی بسیار درهم‌تنیده و چسبناک<sup>4</sup>

سلول‌های و همتای چسبنده آن‌ها در کنار هم می‌شود [39]. نقش مکانیکی چسبندگی، فراهم کردن انرژی لازم برای اتکا محکم سلول به محیط اطرافشان است.

سلول‌های و اجزای ماتریس فراسلولی در برهمکنش با یکدیگر به صورت سطحی به یکدیگر می‌چسبند. اگر دو نوع سلول مجاور متفاوت را با  $\tau$  و  $\tau'$  نشان دهیم (مثلًا دو سلول اندوتیال یا سلول اندوتیال و سلول بافت)، نشان‌دهنده قدرت چسبندگی بین این دو گونه است. انرژی چسبندگی در فرم همیلتونین را می‌توان به صورت رابطه (4) تعریف کرد [30]:

$$E_{\text{adhesion}} = \sum_{\text{site}} J_{\tau, \tau'} (1 - \delta_{\sigma, \sigma'}) \quad (4)$$

در معادله (4)،  $J$  مقدار انرژی چسبندگی بین دو گونه  $\tau$  و  $\tau'$  است.  $\delta$  تابع دلتای کرونکر<sup>1</sup> و  $\sigma$  و  $\sigma'$  شماره دو شیکه مجاور در دامنه مسئله است. با توجه به وجود تابع دلتای کرونکر این انرژی فقط در سطح تماس سلول‌ها و در تماس با گونه‌های متفاوت با شماره‌هایی متفاوت وجود دارد. در صورتی که دو گونه مورد بررسی دارای یک شماره باشند یعنی هر دو شبکه متعلق به یک سلول باشند، تابع دلتای کرونکر برابر 1 شده و درنتیجه انرژی چسبندگی بین این دو گونه برابر صفر خواهد شد و اثری در انرژی کل سیستم افزوده می‌شود.

سلول‌ها برای رشد، تکثیر و تغییر شکلشان نیاز به نوعی انرژی دیگر دارند. با توجه به این حقیقت انرژی رشد سلولی تعریف می‌شود. هر سلول اندوتیالی که توسط فاکتور رشد تحریک می‌شود، از این انرژی برای رشد بهره می‌گیرد. سلول‌های اندوتیال در رشد خود محدودیت دارند. به بیشینه

Fig. 3 A sample of the initial configuration in Potts model at the cellular scale. Tissue construct, matrix fibers, interstitial fluid, tissue cells and endothelial cells that are shown by c, m, f, t and e, respectively

شکل 3 نمونه‌ای از پیکربندی اولیه در مدل سلولی پاتس در مقیاس سلولی. سازه بافت، فیبرهای ماتریس، مایع میان بافتی، سلول‌های بافت و سلول‌های اندوتیال به ترتیب با c, m, f, t و e نشان داده شده است

<sup>1</sup> Kronecker delta

چند جوانه به یکدیگر گفته می‌شود. بر اساس قوانین دینامیک سیالات، خون برای جریان یافتن در یک رگ نیاز به یک ورودی و یک خروجی دارد که اختلاف فشار ناشی از بالاست و پایین است جریان در رگ، خون را در این رگ جوان حاری کند. در دسته‌بندی سلول‌های اندوتیال از سلول‌های تیپ باد شد. این سلول‌ها در ذات خود از شرایط لازم برای اتصال جوانه‌ها به یکدیگر هستند. این سلول‌ها با گسترش شاخک‌های نازک و بلند روی سطح سلول‌های تیپ در اطراف، محیط اطراف خود را حس کرده و مهاجرت آن شاخه در بافت را به طوری هدایت می‌کند که در صورت امکان به شاخه‌ای دیگر متصل شود [18]. بازپیوند فرآیندی است که در آن دو سلول تیپ به هم متصل می‌شوند و یا اینکه یک سلول تیپ و یک سلول ریشه به یکدیگر متصل می‌شوند. در فرآیند آمیختگی برای اتصال جوانه‌ها به یکدیگر راه پیشتری نسبت به رویکرد رگ‌زایی، موجب جاری شدن خون در این شبکه می‌شود.

سؤال اصلی در این الگوریتم این است که آیا امکان تغییر اجزای شبکه از یک نهاد به نهاد دیگر، به عنوان مثال تبدیل ناحیه اشغال شده توسط مایع میان بافتی به سلول اندوتیال، وجود دارد یا خیر. شکل 4 نمایی از میدان حل را نشان می‌دهد. هر تغییری در این سیستم بر طبق یک الگوریتم ساده چند مرحله‌ای صورت می‌پذیرد:

1- به صورت تصادفی یکی از اجزای شبکه به مختصات ( $i, j$ ) انتخاب می‌شود.

2- بسته به جزء انتخابی، در صورت وجود، همسایه‌های غیر هم نوع آن پیدا می‌شوند.

3- به صورت تصادفی یک جز همسایه غیر هم نوع، ( $j', i'$ ), انتخاب می‌شود.

4- انرژی کل ناشی از برهمکنش این دو جز محاسبه می‌شود.

5- با توجه به مقدار تغییر انرژی دو حالت متصور است:

5-1- انرژی سیستم کاهش یابد که بدین معنی است که تغییر پذیرفته می‌شود.

5-2- انرژی سیستم افزایش یابد که در این صورت، تغییر با احتمال زیر پذیرفته می‌شود:

$$P_{\text{acceptance}} = \exp\left(\frac{-\Delta E_{\text{total}}}{kT}\right), \quad \Delta E_{\text{total}} > 0 \quad (9)$$

در رابطه (9)،  $k$  ثابت بولتزمن و  $T$  با تعریف ترمودینامیکی دمای مؤثر است که تفسیر آن در این مدل نوسان غشای سلول‌ها است و معیاری از ناپایداری سیستم است. این مراحل باید به تعداد نقاط داخل شبکه انجام شود. به عبارت دیگر اگر شبکه به  $n$  ناحیه تقسیم شده باشد،  $n$  بار باید ناحیه‌های درون شبکه انتخاب شده و این الگوریتم روز آن‌ها اجرا شود. تعداد  $n$  تغییر در مدل یک گام مونت‌کارلو<sup>2</sup> یا MCS را نشان می‌دهند که مبنای زمانی مدل سلولی پاتس است. در پایان، مدل سلولی پاتس در طی زمان و با تکرارهای بی در پی مبتنی بر احتمال شماره شناسه اجزا شبکه را به روز می‌کند.

### 3-3- مقیاس درون سلولی

رخ‌مانه سلول حالتی از تعادل سلول است که رفتار آن سلول را مشخص

است و چون سلول‌های اندوتیال بایستی از چنین محیطی عبور کنند، حرکت آن‌ها فرا میرا<sup>1</sup> می‌شود. این نوع حرکت موجب می‌شود که نیروی لازم برای حرکت سلول‌ها نسبت مستقیم با سرعت حرکت داشته باشد و نتیجتاً نیروی لازم برای حرکت نسبتی از گرادیان VEGF شود. با این تغییر، انرژی شیمی‌آرایی به صورت رابطه (6) استخراج می‌شود:

$$E_{\text{chemotaxis}} = \sum_{\text{site}} \chi_{\sigma} \Delta V \quad (6)$$

به طوری که، ۶٪ پتانسیل مؤثر شیمی‌آرایی و  $\Delta V$  گرادیان شیمی‌آرایی VEGF است. با توجه به اینکه پاسخ هر یک از رخ‌مانه‌های سلول‌های اندوتیال با دیگر گونه‌ها متفاوت است، به عنوان مثال سرعت شیمی‌آرایی سلول‌های تیپ با ساقه تفاوت دارد. به همین دلیل برای هر کدام از این رخ‌مانه‌ها پتانسیل مؤثر شیمی‌آرایی اختصاصی ای در مدل تعریف می‌گردد. این احتمال وجود دارد که در فرآیند حل مدل، با توجه به شبکه‌ای بودن مدل و این مطلب که هر سلول ممکن است از چندین شبکه تشکیل شود، قسمتی از یک سلول از بدنه اصلی سلول جدا شود. با مطالعه زیست‌شناسی سلولی می‌توان دریافت چنین اتفاقی در واقعیت اتفاق نمی‌افتد مگر آنکه سلول در حال مرگ باشد. جهت حفظ پیوستگی سلول‌ها، یک جمله دیگر به انرژی کل افزوده می‌شود که در صورت میل سلول به از هم گسیختگی، انرژی سیستم به طرز چشم‌گیری افزایش یابد و به این ترتیب تغییرات انرژی سیستم در جهت خلاف اعمال این تغییر باشد. انرژی پیوستگی سلولی به صورت رابطه (7) تعریف می‌شود:

$$E_{\text{continuity}} = \sum_{\text{cell}} \alpha(1 - \delta_{a_{\sigma}, a_{\sigma'}}) \quad (7)$$

در رابطه (7)،  $\alpha$  ثابت پیوستگی که مقدار آن در مقایسه با سایر ثابت‌ها در انرژی‌های دیگر، مانند ثابت چسبندگی، بسیار بزرگ‌تر است.  $\delta$  تابع دلتای کرونکر است. قبل اشاره شد که در پیکربندی مدل سلولی پاتس هر سلول ممکن است بیش از یک شبکه را اشغال کند، یعنی اندازه سلولی به طوری باشد که چندین شبکه را شامل شود. این انرژی یگانه بودن همه سلول‌ها را با این رویکرد کنترل می‌کند که در صورت جدا شدن بخشی از یک سلول انرژی سیستم به طرز چشم‌گیری زیاد شود تا احتمال این تغییر تا حد ممکن کم شود. در این الگوریتم، اندازه فعلی سلول اندوتیال ( $a_{\sigma}$ ) با اندازه شبکه‌های پیوسته اشغال شده توسط همان سلول ( $a_{\sigma'}$ ) برابر نخواهد بود. درنتیجه  $0 \neq 1 - \delta_{a_{\sigma}, a_{\sigma'}}$  و انرژی به سیستم وارد می‌شود.

با این تئوری، انرژی کل سیستم در این مرحله به صورت رابطه (8) خواهد بود:

$$E_{\text{total}} = E_{\text{adhesion}} + E_{\text{growth}} + E_{\text{chemotaxis}} + E_{\text{continuity}} \\ = \sum_{\text{site}} J_{\tau, \tau'} (1 - \delta_{\sigma, \sigma'}) + \sum_{\text{cell}} \gamma_{\sigma} (a_{\sigma} - A_{\sigma}^T)^2 + \sum_{\text{site}} \chi_{\sigma} \Delta V \\ + \sum_{\text{cell}} \alpha (1 - \delta_{a_{\sigma}, a_{\sigma'}}) \quad (8)$$

در طی زمان فرآیند رگ‌زایی پدیده‌های رخ می‌دهند که برخی مثل دوشاخه شدن در اثر برهمکنش بین سلول‌های اندوتیال و اجزای ماتریس فراسلولی هستند و برخی دیگر، مانند بازپیوند رفتارهایی هستند که در این فرآیند رگ‌زایی وجود دارند و از خواص سلول‌های اندوتیال سرچشمه می‌گیرند.

بازپیوند جوانه‌ها یکی از پدیده‌های حیاتی در فرآیند رگ‌زایی و رگ دار کردن بافت، است. بازپیوند به تشکیل یک حلقه بسته از دو جوانه یا اتصال

<sup>1</sup> Over damped

<sup>2</sup> Monte Carlo Step

سلول‌های اندوتیال در محیط ماتریس فراسلولی بازبینی می‌شود. توزیع مکانی جدید VEGF دوباره از رابطه (1) به دست می‌آید و تکرار همین چرخه تا اینکه گام‌های زمانی پایان یابد ادامه دارد.

#### 4- پارامترهای مدل

مقادیر پارامترهای جدول 1 از مراجع [31,30] گرفته شده است. در هرجایی که امکان پذیر بوده است پارامترها از داده‌های تجربی به دست آمداند که اختصاصاً فقط شامل پارامترهای موجود در معادله 1 می‌شود.

برای نسبت دادن مقادیر باقی پارامترها، سعی شده است پارامترها به گونه‌ای مقداردهی شوند که مدل بتواند رفتار منشاء‌دهشده طبیعی سیستم در طی فرآیند رگزایی را شبیه‌سازی کند. برای تبدیل واحد زمانی گام مونت‌کارلو به واحد زمانی واقعی از زمان لازم برای تقسیم سلولی یک سلول اندوتیال بهره گرفته شد. 18 ساعت طول می‌کشد که یک سلول اندوتیال چرخه خود را طی [30] و با مقایسه این زمان با زمان تقسیم سلول در مدل، هر گام مونت‌کارلو تقریباً برابر یک ساعت است.

در بین اجزای ماتریس فراسلولی، فیبرهای ماتریس و سلول‌های بافت بر الگوی رگزایی تأثیر می‌گذارند. در این تحقیق با توجه به بررسی اثر فیبرهای ماتریس بر روی الگوی آنژیوژنیسیس در کارهای گذشته [31]، این جز ماتریس فراسلولی در شبیه‌سازی‌ها در نظر گرفته نشده است. در هر صورت وجود دیگر المان‌های ماتریس فراسلولی تأثیر چندانی در هدف این تحقیق ندارد زیرا عده‌های تأثیر این المان‌ها بر الگوی رگزایی است. با این تفسیر، مقادیر نشان داده شده در جدول 1 صرفاً جهت درک بیشتر در مورد مفهوم چسبندگی بین سلولی است.

یکاهای موراستفاده در جدول 1، بر مبنای فرمولاسیون ارائه شده‌اند، بدین معنی که مثلاً  $E$  در یکای پارامترها نشان‌گر واحد انرژی یا همیلتونین است. در جدول 1، conc. لازم به ذکر است که منظور از pixel در جدول، المان‌های مرتعی تشکیل‌دهنده میدان می‌باشد. در این تحقیق همه شبیه‌سازی‌ها از مجموعه پارامترها و فرضیاتی یکسان استفاده کرده‌اند.

#### 5- نتایج

در این بخش نتایج حاصل از مدل‌سازی رابطه (8) ارائه می‌گردد. در شکل 5، شش لحظه در طی فرآیند رگزایی در محیطی همگن نشان داده شده است. نتایج به گونه‌ای ارائه شده‌اند (شکل 5 و 6) که تفاوت الگوی رگزایی در اثر اجزای ماتریس فراسلولی مشخص شود. در قسمت دوم، نتایج حاصل از اضافه کردن برخی المان‌ها که ممانتع بیشتری در برابر مهاجرت آزادانه سلول‌های اندوتیال و تأثیر آن‌ها بر الگوی رگزایی به نمایش درآمده است.

#### 5-1- رشد و اتصال جوانه‌ها به سازه پیش‌ساخته

شبیه‌سازی با ده عدد سلول منفرد اندوتیال جای گرفته در هر چهار طرف ناحیه حل شروع می‌شود. دریافت سیگنال از VEGF، سلول‌های اندوتیال را برای مهاجرت به خط می‌کند. پس از فعل شدن سلول‌های اندوتیال، این سلول‌ها شروع به رشد، تکثیر و مهاجرت می‌کنند. الگوریتم حل بر اساس الگوریتم مونت‌کارلو است، بنابراین درصدی از تصادف و احتمال در هر بار اجرای مدل در نتایج وارد می‌شود که شامل کشیدگی سلول‌های، الگوی مهاجرت می‌باشد. نتایج نمونه طبق تئوری و معادله 8 برای شش گام مونت‌کارلو در شکل 5 نمایش داده شده است.

1	2	1	1	1	1	5	5	1	1	2	2	2	3	1	1
1	2	2	2	2	3	5	5	1	2	2	2	2	1	2	
1	2	3	1	2	1	5	1	1	1	3	1	1	2	2	
2	2	1	1	1	1	2	1	2	2	2	1	1	2	2	
1	2	1	1	2	2	2	1	2	3	1	1	3	2	1	
1	2	2	2	2	0	0	0	0	2	2	1	1	1	1	
4	4	1	1	2	0	0	0	0	1	2	3	8	8	6	
4	4	4	1	3	0	0	0	0	1	1	2	8	6	6	
4	4	3	2	1	0	0	0	0	1	2	2	8	6	6	
2	2	2	2	1	0	0	0	0	1	2	3	2	1	2	
2	3	2	2	3	2	2	3	1	1	3	2	2	1	2	
1	1	1	1	1	3	2	1	1	2	1	1	1	1	3	
2	2	3	1	1	1	1	9	9	9	1	1	3	2	1	
1	1	2	2	1	1	1	9	7	9	1	2	2	2	1	
1	3	1	1	2	2	2	7	7	7	1	1	2	1	2	

شکل 4 نمایی از میدان حل مستله پس از چند گام زمانی. سلول‌های اندوتیال شماره 4 و 5 در حال رشد هستند و سلول‌های اندوتیال 6 و 7 پس از رشد و رسیدن به حجم هدف تقسیم سلولی انجام داده‌اند و سلول‌های اندوتیال شماره 8 و 9 را به وجود آورده‌اند

می‌کند. این رفتار می‌تواند مهاجرت، رشد، مرگ و یا ساکن بودن سلول باشد که با توجه به سیگنال‌های محیطی تعیین می‌شود. با توجه به اینکه مدل سازی رخمانه سلول‌ها با توجه به سیگنال‌های بیومکانیکی و بیوشیمیایی متنوع کار گسترد و دشواری است، در این تحقیق به صورت پیش‌فرض برای همه‌ی سلول‌ها یک دسته رخمانه یکسان بر اساس نتایج کارهای بوئر و همکاران [31,30] و بزم‌آرا و همکاران [42,41] در نظر گرفته شده است. رخمانه‌ها در حالتی در حالی در نظر گرفته شده است که با وجود سیگنال‌های مکانیکی و شیمیایی لازم، شرایط برای رگزایی فراهم شده است.

#### 4-3- پل بین مدل پیوسته و مدل گسسته

مدل پیوسته توزیع VEGF در ماتریس فراسلولی و مدل گسسته دینامیک سلولی را توصیف می‌کند. اطلاعات هر یک از این مدل‌ها در هر گام زمانی، شرایط اولیه مدل دیگر را ایجاد می‌کند تا یک سیستم کوپل برهمکنش‌های میان سلولی و فراسلولی را همزمان نشان دهد. در زمان صفر، جواب حالت پایای رابطه (1) توزیع اولیه فاکتور رشد را در اختیار مدل گسسته سلولی می‌گذارد. در مدل گسسته، هر سلول اندوتیال به صورت کاملاً مجزا از بقیه سلول‌ها به مقدار VEGF موجود واکنش نشان می‌دهد که آیا مقدار VEGF برای فعل شدن سلول کافی است یا خیر. برای فعل شدن سلول‌های اندوتیال، VEGF باید در مقداری بیش از حد آستانه<sup>۱</sup>، در محیط وجود داشته باشد. پس از فعل شدن سلول‌های اندوتیال، هر سلول به صورت انفرادی در مورد رخمانه خود تصمیم می‌گیرد که آیا یک سلول تیپ است و وظیفه مهاجرت و تضعیف ماتریس فراسلولی را بر عهده دارد و یا یک سلول تکثیر شونده است. بعد از جلو رفتن فرآیند مدل گسسته در یک گام زمانی مونت‌کارلو، تابع مربوط به بارگیری فاکتور رشد یا B با توجه به توزیع جدید

<sup>1</sup> Threshold level

## 5-2- تأثیر ماتریس فراسلولی بر الگوی رگزایی

یکی از پدیدههایی که در اثر برهمکنش‌های بین سلول‌های اندوتیال و اجزای ماتریس فراسلولی به وجود می‌آید، دوشاخه شدن است. به طور کلی می‌توان ادعا کرد که هیچ دوشاخه شدن کاملی در محیط ماتریس فراسلولی همگن رخ نمی‌دهد (شکل 5). این امر به دلیل آن است که محیط، برخی از راهنمایی‌های چسبنده خود مانند سلول‌های بافت یا فیبرهای ماتریس را به عنوان یک مانع فیزیکی در بر ندارد. در نتایج نمایش داده شده در شکل 6 با قرار دادن سلول‌های بافت بر سر راه مهاجرت سلول‌های اندوتیال پدیده دوشاخه شدن ظاهر می‌شود. آزمایش‌ها نشان داده‌اند که دوشاخه شدن به جوانه در فاصله‌ای بین 20 تا 100 میکرومتر از رگ والد پدیدار می‌شود [30]. با دقت به شکل 6 می‌توان دریافت که در این مدل نیز پدیده دوشاخه شدن در چنین بازه‌ای رخداده است.

## 6- بحث و نتیجه‌گیری

در حال حاضر شکی نیست که اصلی‌ترین پیش‌نیاز مهندسی بافت برای ورود به کاربردهای پزشکی، ابداع رویکردهای مؤثری است که تأمین خون لازم برای حیات سلول‌های بافت را تضمین کند. بر اساس همین اهمیت، روش‌های متنوعی برای توسعه‌ی رشد عروق خونی در سازه بافت پیشنهاد شده‌اند. با این وجود، با توجه به وقت‌گیر بودن فرآیند رگزایی، جلوگیری از مرگ سلول‌های بافت‌های مصنوعی بزرگ به دلیل کم‌خونی کار دشواری است. تعبیه کردن شبکه عروقی پیش‌ساخته درون بافت و القای فرآیند آمیختگی دستاوردهای نوینی هستند که نوید یک راه بالقوه را برای حل این مشکل می‌دهند. با توجه به نتایج شبیه‌سازی‌ها، می‌توان تأیید کرد که در صورت قرارگیری و فعال شدن محرك‌های رگزایی در سطح بافت کاشته شده، با تعبیه کردن شبکه پیش‌ساخته عروقی درون سازه بافت، می‌توان انتظار داشت که فرآیند رگ دار شدن بافت در زمان کمتر و با کیفیت بهتری انجام شود.

با توجه به نتایج، برتری جاگذاری شبکه پیش‌ساخته در درون سازه بافت را می‌توان در چند مورد خلاصه کرد. در ابتدا، با قرار دادن محرك‌های شبیه‌سازی در نزدیکی ورودی‌های شبکه عروقی پیش‌ساخته، مسیر حرکت جوانه‌ها به سمت سازه بافت بهینه می‌شود. از طرف دیگر، در این رویکرد از آنجایی که یک شبکه عروقی در سازه بافت تعبیه شده است، مسیر رسیدن جوانه مویرگ‌ها از رگ‌های والد به عمق بافت کوتاه‌تر شده است که در عمل وقت بیشتری را در اختیار فرآیند رگزایی قرار می‌دهد تا بافت را به خوبی رگ‌دار کند. به عنوان مثال با فرض بالغ بودن مویرگ‌ها، در استراتژی رگ‌زایی مدت زمان لازم جهت رسیدن جریان خون به مرکز بافت در حدود 8 روز (180 گام مونت‌کارلو) بیشتر از رویکرد آمیختگی است. درنهایت، با محتمل‌تر شدن پدیده بازپیوند مویرگ‌ها و در نتیجه ایجاد حلقه بسته، احتمال ایجاد جریان خون در کل شبکه عروقی بالاتر می‌رود.

این مدل توانست که علاوه بر امکان سنجی پهلوی تشکیل شبکه عروقی از طریق رویکرد آمیختگی، نقش ماتریس فراسلولی و اجزای آن بر روی الگوی رگزایی را در قالب پدیده دوشاخه شدن به نمایش درآورد. با مقایسه نتایج حاصل از فرآیند رگزایی و رشد جوانه‌ها با مدل‌های مشابه گذشته مانند تحقیقات بوثر و همکاران [31,30] و بزم‌آرا و همکاران [42,41,33,32] می‌توان اصلت و صحت نتایج را تأیید کرد.

درنهایت، با استفاده از دستاوردهای این تحقیق و مدل ارائه شده، در آینده می‌توان با اضافه کردن جزئیات بیشتری در مورد برهمکنش‌های بین

شکل 5 نشان می‌دهد که جوانه‌زنی از رگ والد را به نمایش بگذارد و فرآیند آمیختگی را شبیه‌سازی کند. از برتری‌های رویکرد آمیختگی بر رویکرد رگزایی می‌توان به این مورد اشاره کرد که در رویکرد آمیختگی احتمال و سرعت تشکیل حلقه بسته بیشتر است. به عنوان مثال در شکل 5 در لحظه MCS = 400 سه جوانه از سه رگ متفاوت به شبکه پیش‌ساخته متصل شده‌اند، بنابراین پدیده بازپیوند به موقع پیوسته است. مسیر حرکت سلول‌های اندوتیال به سمت منبع VEGF تقریباً به صورت یک خط صاف است. برای این الگو حرکت می‌توان دو دلیل ذکر کرد. اول، به دلیل اثر غالب شیمی‌آرایی در مهاجرت سلول‌های اندوتیال، سلول‌ها مجبورند که در مسیری بهینه حرکت کنند که گرادیان VEGF بیشتر است. از این گذشته، ماتریس فراسلولی نقش عمده‌ای در شکل گیری الگوی رگزایی دارد، نبود مانع‌های فیزیکی نفوذناپذیر در برابر جوانه در حال رشد موجب شده است که راه مستقیم و کوتاه برای رسیدن به منبع فاکتور رشد باز باشد و عرض جوانه‌ها بیشتر شود. باید ذکر شود که طول زنجیره سلولی یا جوانه با توجه به رخمانه‌های متفاوت سلول‌های اندوتیال در طی فرآیند رگزایی محدود می‌شود.

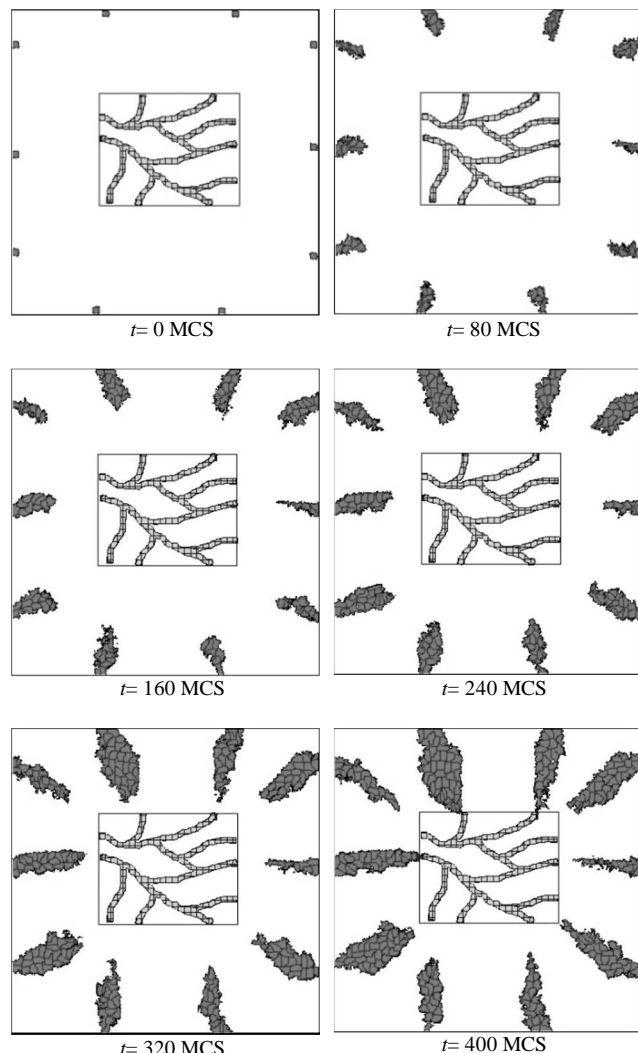


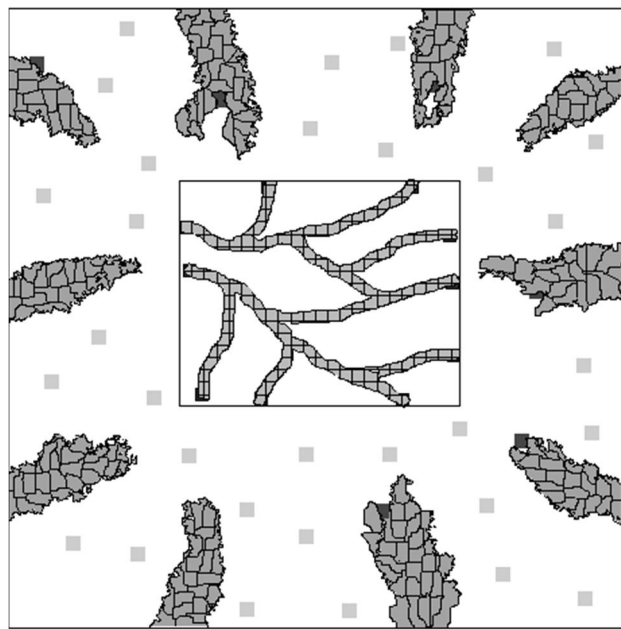
Fig. 5 Results for equation 8 in the homogenous domain. At 400 MCS, Three sprouts are inoculated to the preformed network

شکل 5 نتایج حاصل از معادله 8 در محیط همگن. پس از گذشت 400 گام مونت کارلو، سه جوانه به شبکه پیش‌ساخته متصل می‌شوند

## 7- مراجع

- [1] M. W. Laschke, M. D. Menger, Vascularization in Tissue Engineering: Angiogenesis versus Inosculation, *European Surgical Research*, Vol. 48, No. 2, pp. 85-92, 2012.
- [2] P. Carmeliet, R. K. Jain, Angiogenesis in cancer and other diseases, *Nature*, Vol. 407, No. 6801, pp. 249-278, 2000.
- [3] M. Nomi, A. Atala, P. De Coppi, S. Soker, Principles of neovascularization for tissue engineering. *Molecular aspects of medicine*, Vol. 23, No. 6, pp. 463-483, 2002.
- [4] M. W. Laschke, Y. Harder, M. Amon , I. Martin, J. Farhadi, A. Ring, N. Torio-Padron, R. Schramm, M. Rücker, D. Junker, JM. Häufel, Angiogenesis in tissue engineering: breathing life into constructed tissue substitutes, *Tissue Engineering*, Vol. 12, No. 8, pp. 2093-2104, 2006.
- [5] M. W. Laschke, B. Vollmar, M. D. Menger, Inosculation: connecting the life-sustaining pipelines, *Tissue Engineering Part B: Reviews*, Vol. 15, No. 4, pp. 455-465, 2009.
- [6] M. W. Laschke, M. Rücker, G. Jensen, C. Carvalho, R. Mühlaupt, NC. Gellrich, MD. Menger, Improvement of vascularization of PLGA scaffolds by inosculation of in situ-preformed functional blood vessels with the host microvasculature, *Annals of surgery*, Vol. 248, No. 6, pp. 939-948, 2008.
- [7] B. R. Shepherd, H. Y. Chen, C. M. Smith, G. Gruionu, S. K. Williams, J. B. Hoyng, Rapid perfusion and network remodeling in a microvascular construct after implantation, *Arteriosclerosis, thrombosis, and vascular biology*, Vol. 24, No. 5, pp. 898-904, 2004.
- [8] P. L. Tremblay, V. Hudon, F. Berthod, L. Germain, F. A. Auger, Inosculation of tissue-engineered capillaries with the host's vasculature in a reconstructed skin transplanted on mice, *American journal of transplantation*, Vol. 5, No. 5, pp. 1002-1010, 2005.
- [9] P. Carmeliet, R. K. Jain, Molecular mechanisms and clinical applications of angiogenesis, *Nature*, Vol. 473, No. 7347, pp. 298-307, 2011.
- [10] P. Schumann, F. Tavassoli, D. Lindhorst, C. Stuehmer, K. H. Bormann, A. Kampmann, R. Mühlaupt, M. W. Laschke, M. D. Menger, N. C. Gellrich, M. Rücker, Consequences of seeded cell type on vascularization of tissue engineering constructs in vivo, *Microvascular research*, Vol. 78, No. 2, pp. 180-190, 2009.
- [11] J. Folkman, Angiogenesis: an organizing principle for drug discovery?, *Nature reviews Drug discovery*. Vol. 6, No. 4, pp. 273-286, 2007.
- [12] H. H. Marti, Angiogenesis—a self-adapting principle in hypoxia, *Mechanisms of Angiogenesis*, Vol. 94, No. 12, pp. 163-180, 2005.
- [13] B. Beamer, C. Heitrich, J. Lane, Vascular endothelial growth factor: an essential component of angiogenesis and fracture healing, *HSS journal*, Vol. 6, No. 1, pp. 85-94, 2010.
- [14] T. J. Ryan, Biochemical consequences of mechanical forces generated by distension and distortion, *Journal of the American Academy of Dermatology*, Vol. 21, No. 1, pp. 115-130, 1989.
- [15] E. M. Conway, D. Collen, P. Carmeliet, Molecular mechanisms of blood vessel growth, *Cardiovascular research*, Vol. 49, No. 3, pp. 507-521, 2001.
- [16] S. Li, N. F. Huang, S. Hsu, Mechanotransduction in endothelial cell migration, *Journal of cellular biochemistry*, Vol. 96, No. 6, pp. 1110-1126, 2005.
- [17] R. L. Klemke, S. Cai, A.L. Giannini, P. J. Gallagher, P. de Lanerolle, D. A. Cheresh, Regulation of cell motility by mitogen-activated protein kinase, *The Journal of cell biology*, Vol. 137, No. 2, pp. 481-492, 1997.
- [18] H. Gerhardt, M. Golding, M. Fruttiger, C. Ruhrberg, A. Lundkvist, A. Abramsson, M. Jeltsch, C. Mitchell, K. Alitalo, D. Shima, C. Betsholtz, VEGF guides angiogenic sprouting utilizing endothelial tip cell filopodia, *The Journal of cell biology*, Vol. 161, No. 6, pp. 1163-1177, 2003.
- [19] N. V. Mantzaris, S. Webb, H. G. Othmer, Mathematical modeling of tumor-induced angiogenesis, *Journal of mathematical biology*, Vol. 49, No. 2, pp. 111-187, 2004.
- [20] M. A. Chaplain, S. R. McDougall, A. R. A. Anderson, Mathematical Modeling Of Tumor-Induced Angiogenesis, *Annual Review of Biomedical Engineering*, Vol. 8, No. 7, pp. 233-257, 2006.
- [21] S. M. Peirce, Computational and mathematical modeling of angiogenesis, *Microcirculation*, Vol. 15, No. 8, pp. 739-751, 2008.
- [22] S. M. Peirce, E. J. Van Gieson, T. C. Skalak, Multicellular simulation predicts microvascular patterning and in silico tissue assembly, *The FASEB journal*, Vol. 18, No. 6, pp. 731-733, 2004.
- [23] E. Jabbarzadeh, C. F. Abrams, Strategies to enhance capillary formation inside biomaterials: A computational study, *Tissue Engineering*, Vol. 13, No. 8, pp. 2073-2086, 2007.
- [24] C. L. Stokes, D. A. Lauffenburger, Analysis of the roles of microvessel endothelial cell random motility and chemotaxis in angiogenesis, *Journal of theoretical biology*, Vol. 152, No. 3, pp. 377-403, 1991.
- [25] M. E. Orme, M. A. Chaplain, A mathematical model of the first steps of tumor-related angiogenesis: capillary sprout formation and secondary branching, *Mathematical Medicine and Biology*, Vol. 13, No. 2, pp. 73-98, 1996.
- [26] L. Olsen, J. A. Sherratt, P. K. Maini, F. Arnold, A mathematical model for the capillary endothelial cell-extracellular matrix interactions in wound-healing angiogenesis, *Mathematical Medicine and Biology*, Vol. 14, No. 4, pp. 261-281, 1997.
- [27] A. Anderson, M. Chaplain, Continuous and discrete mathematical models of tumor-induced angiogenesis, *Bulletin of mathematical biology*, Vol. 60, No. 5, pp. 857-899, 1998.

بافت میهمان و میزان، راه شیوه‌سازی فرآیند کاشت بافت و شرایط پیش روی بافت در درون بدن را هموار کرد.



**شکل ۶** پس از اضافه کردن سلول‌های بافت به داخل ناحیه حل، پدیده دوشاخه شدن ظاهر می‌شود. مریع‌های خاکستری روشن سلول‌های بافت در مسیر هستند و مریع‌های خاکستری تیره سلول‌هایی هستند که با جوانه برخورد کرده‌اند.

**جدول ۱** مقادیر پارامترهای مدل.

**Table 1** Values of model's parameters.

پارامتر	مقدار	ابعاد	نشانه
بعد ناحیه حل	500μm	L	$L_1$
فاصله رگ‌های والد تا سازه بافت	175μm	L	$L_2$
ضریب پخش VEGF	$1 \times 10^{11} \mu\text{m}^2/\text{s}$	$L^2/T$	D
ضریب از بین رفت	$1.8 \times 10^{-4} \text{ s}^{-1}$	$T^{-1}$	$\lambda$
ضریب مصرف VEGF	$1.66 \times 10^{-5} \text{ pg/EC/s}$	$\text{M}/\text{cell}/T$	$\beta$
منبع VEGF	0.035 pg/pixel	M/L	S
آستانه غال‌سازی	0.0001pg	M	$v_a$
ضریب پیوستگی سلولی چسبندگی	$10^9$	E	$\alpha$
اندوتیال - اندوتیال	J		
اندوتیال - ماتریس	30	E/L	$J_{ee}$
اندوتیال - سلول بافت	66	E/L	$J_{em}$
ماتریس - سلول بافت	31	E/L	$J_{et}$
ماتریس - ماتریس	30	E/L	$J_{mt}$
سلول بافت - سلول بافت	85	E/L	$J_{mm}$
استیسیته سلول‌های اندوتیال	20	E/L	$J_{tt}$
پتانسیل مؤثر شیمیایی	0.8	$E/L^4$	$\gamma_e$
سلول‌های تیپ			$\chi$
سلول‌های ریشه	$-1.61 \times 10^6$	E/conc.	$\gamma_T$
قررت بازپیوند	$-1.58 \times 10^6$	E/conc.	$\gamma_S$
دمای بولتزمن	1000	$E/L^2$	$\Psi$
	2.5	E	kT

- [36] P. Hogeweg, Evolving mechanisms of morphogenesis: on the interplay between differential adhesion and cell differentiation, *Journal of Theoretical Biology*, Vol. 203, No. 4, pp. 317-333, 2000.
- [37] Y. Jiang, J. Pjesivac-Grbovic, C. Cantrell, J. P. Freyer, A multiscale model for avascular tumor growth, *Biophysical journal*, Vol. 89, No. 6, pp. 3884-3894, 2005.
- [38] S. Turner, J. A. Sherratt, Intercellular adhesion and cancer invasion: A discrete simulation using the extended Potts model, *Journal of Theoretical Biology*, Vol. 216, No. 1, pp. 85-100, 2002.
- [39] J. L. Maître, C. P. Heisenberg, The role of adhesion energy in controlling cell-cell contacts, *Current opinion in cell biology*, Vol. 23, No. 5, pp. 508-514, 2011.
- [40] L. Lamalice, F. Le Boeuf, J. Huot, Endothelial cell migration during angiogenesis, *Circulation Research*, Vol. 100, No. 6, pp. 782-794, 2007.
- [41] H. Bazmara, M. Soltani, K. Raahemifar, M. Sefidgar, M. Bazargan, M. M. Naeenian, A. Elkamel, Activation of apoptotic signal in endothelial cells through intracellular signaling molecules blockade in tumor-induced angiogenesis, *BioMed research international*, Vol. 2015, Article ID. 908757, 12 pages, 2015.
- [42] H. Bazmara, M. Soltani, M. Sefidgar, M. Bazargan, M. M. Naeenian, A. Rahmim, Blood flow and endothelial cell phenotype regulation during sprouting angiogenesis, *Medical & biological engineering & computing*, pp. 1-12, 2015 [Epub ahead of print].
- [28] H. A. Levine, A. L. Tucker, M. Nilsen-Hamilton, A mathematical model for the role of cell signal transduction in the initiation and inhibition of angiogenesis, *Growth Factors*, Vol. 20, No. 4, pp. 155-175, 2002.
- [29] M. J. Plank and B. D. Sleeman, Lattice and non-lattice models of tumor angiogenesis, *Bulletin of mathematical biology*, Vol. 66, No. 6, pp. 1785-1819, 2004.
- [30] A. L. Bauer, T. L. Jackson, Y. Jiang, A cell-based model exhibiting branching and anastomosis during tumor-induced angiogenesis, *Biophysical journal*, Vol. 92, No. 9, pp. 3105-3121, 2007.
- [31] A. L. Bauer, T. L. Jackson, Y. Jiang, Topography of extracellular matrix mediates vascular morphogenesis and migration speeds in angiogenesis, *PLoS Computational Biology*, Vol. 5, No. 7, pp. 1-10, 2009.
- [32] H. Bazmara, M. Soltani, M. Sefidgar, M. Bazargan, M. M. Naeenian, A. Rahmim, The vital role of blood flow-induced proliferation and migration in capillary network formation in a multiscale model of angiogenesis, *PLoS One*, Vol. 10, No. 6, pp. 1-10, 2015.
- [33] H. Bazmara, M. Soltani, K. Raahemifar, M. Sefidgar, A mathematical cellular pott's model for growth and migration of endothelial cells, *Biomath Communications*, Vol. 2, No. 1, pp. 1-10, 2015.
- [34] M. Fruttiger, Development of the retinal vasculature, *Angiogenesis*, Vol. 10, No. 2, pp. 77-88, 2007.
- [35] B. Alberts, A. Johnson, J. Lewis, M. Raff, K. Roberts, P. Walter, *Molecular Biology of The Cell*, fourth edition, pp. 1066-1126, New York and London, Garland, 2002.